УДК 535.37;621.375

О РАЗЛИЧИИ КОНЦЕНТРАЦИОННЫХ ЗАВИСИМОСТЕЙ ГЕНЕРАЦИОННЫХ ХАРАКТЕРИСТИК ВОДНЫХ И ЭТАНОЛЬНЫХ РАСТВОРОВ РОДАМИНА 6Ж

А. И. Акимов, Л. В. Левшин, А. М. Салецкий (кафедра общей физики для физического факультета)

Исследованы концентрационные зависимости спектральных и энергетических характеристик излучения генерируемого водными и этанольными растворами родамина 6Ж. Установлено возникновение двухполосной генерации излучения водными растворами этого красителя.

Варьированием состава и свойств растворителей можно существенно изменять спектрально-люминесцентные характеристики растворенного вещества [1], что должно приводить к изменению и генерационных свойств раствора. Это связано с тем, что в зависимости от используемых растворителей обычно изменяются вероятности интеркомбинационных переходов в триплетные состояния молекул красителей, их склонность к ассоциации и вероятность передачи энергии возбуждения соседним молекулам. Наиболее широкое распространение получили лазеры на спиртовых растворах родаминовых красителей, обладающих высоким КПД и возможностью в широких пределах плавно перестраивать частоту генерации. Однако их использованию в решении ряда задач (голография, лазерная локация и т. д.) мешает достаточно высокий уровень термооптических искажений, вызывающих существенную нестабильность в работе лазеров на красителях. Их значительного снижения можно достичь, переходя к водным растворам родаминовых красителей. Однако такие системы обладают малым КПД генерации. Его падение обычно связывают с образованием нелюминесцирующих ассоциатов молекул красителей в водных средах. Вместе с тем наряду с указанным тушащим действием ассоциатов существует и представление о возможности генерации излучения простыми ассоциатами (димерами) [2]. В этой связи в настоящей работе проведено исследование генерационных характеристик водных растворов родамина 6Ж (Р6Ж) в широком диапазоне концентраций. Для сравнения были изучены и этанольные растворы этого красителя.

Объектом исследования являлся Р6Ж марки ДКЭ. Его спектрально-люминесцентные свойства изучались на спектрофотометре «Specord M-40» и спектрофлуориметре MPF-4 «Hitachi». Генерационные характеристики исследовались в неселективном резонаторе с коэффициентами отражения зеркал в области генерации 0,99 и 0,65 в кювете сечением 1×1 см. Возбуждение производилось при поперечной накачке второй гармоникой рубинового лазера с λ =347 нм. Плотность мощности накачки составляла ~20 МВт/см² при длительности импульса ~25 нс. Спектры генерации фотографировались на спектрографе ИСП-51. Энергия генерации измерялась с помощью тепловых прием-

ников излучения.

Для анализа полученных экспериментально энергетических характеристик растворов Р6Ж воспользуемся теоретическим соотношением для КПД генерации (η_g) лазера на красителях с поперечной накачкой [3]:

$$\eta_g = \frac{v_g}{v_{ex}} \left[1 - \frac{1}{N_p} - \frac{\ln N_p}{N_p} \right] (1 - \Phi_{ex}) (1 - \Phi_g), \tag{1}$$

где N_p — число порогов генерации; $\Phi_{\rm ex}$ и Φ_g — потери мощности накачки и генерации при синглет-синглетном и триплет-триплетном возбуждающем поглощении; v_{ex} и v_g — частоты накачки и генерации. При анализе энергетических характеристик генерации пренебрежем поглощением высших синглетных и триплетных состояний (в (1) опустим два последних члена).

Из (1) видно, что с возрастанием N_p увеличивается и КПД генерации. При постоянстве условий возбуждения лазера на красителях определим число порогов N_p , используя выражение для значения величины пороговой накачки [4]. В итоге получим:

$$N_{p} = \left\{ \frac{8\pi h \, (v_{f1}^{\text{max}})^{3} \, \sigma}{c^{3} B v_{\text{ex}}} \, \frac{B_{21}^{\text{max}} \left[\exp \left\{ -\frac{h \, (v_{f1} - v_{g})}{kT} \right\} - \frac{K_{l}}{\varkappa_{21} \, (v_{g})} \right]}{1 - \exp \left\{ -\frac{h \, (v_{ex} - v_{g})}{kT} \right\}} \right\}^{-1}, \quad (2)$$

где $v_{\rm fl}^{\rm max}$ — частота максимума люминесценции исследуемого красите- $B_{21}^{
m max}$ — максимальное значение коэффициента Эйнштейна для вынужденного излучения; $\varkappa_{21}=B_{21}/C$ — предельное усиление (C — концентрация молекул); c — скорость света в вакууме; B — квантовый выход люминесценции красителя; K_l определяется из соотношения K_l $=[\ln(1/r_1r_2)/2l]+
ho$ (ho — коэффициент потерь на рассеяние и поглощение примесями; l — длина активного слоя; r_1 и r_2 — коэффициенты отражения зеркал резонатора).

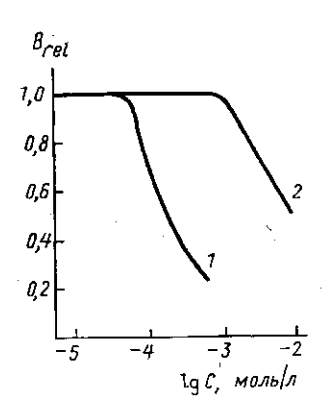


Рис. 1. Зависимость относительного вого выхода $B_{\rm rel}$ флуэресценции для водного (1) и этанольного (2) растворов Р6Ж

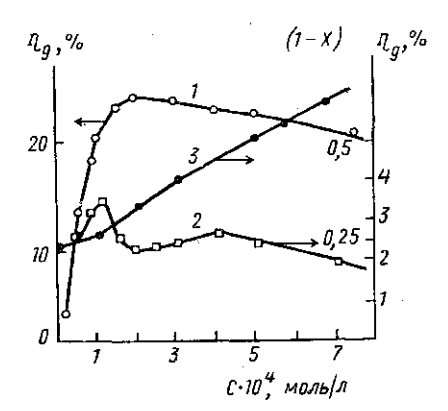


Рис. 2. Зависимости КПД генерации (1, 2) и степени ассоциации (1—X) (3) РбЖ от концентрации в этанольном (1) и водном (2, 3) растворах

Из формулы (2) видно, что число порогов N_p существенно зависит от квантового выхода люминесценции красителя В. При постоянстве энергии накачки чем больше B, тем больше N_p . Если бы квантовый выход флуоресценции не зависел от концентрации, то при ее увеличении должно было бы наблюдаться увеличение N_p (в формуле (2) значение концентрации влияет на предельное усиление). В реальных же условиях в исследуемой системе возникает концентрационное тушение флуоресценции. Из рис. 1 видно, что при концентрациях $C > 10^{-4}$ моль/л

 $A_{\rm для}$ водного раствора) и $C > 10^{-3}$ моль/л (для этанольного раствора) наблюдается падение квантового выхода свечения. Отсюда согласно (1) и (2) следует, что с увеличением концентрации водного раствора P6 Ж до 10^{-4} моль/л и этанольного до 10^{-3} моль/л при постоянстве квантового выхода свечения КПД генерации должен увеличиваться. При дальнейшем возрастании концентрации у обоих растворов долж-

но происходить падение η_g .

На самом деле наблюдается иная картина. На рис. 2 представлены экспериментальные зависимости КПД генерации де от концентрации красителя для этанольного и водного растворов Р6Ж. Из него видно, что в обоих случаях при малых С происходит рост η_g Р6Ж. При этом максимальное значение η_g для этанольного раствора РбЖ гораздо выше, чем у его водного раствора, что и соответствует формулам (1) и (2). Слабое уменьшение η_g , наблюдаемое у этанольного раствора РбЖ в области концентраций $C > 2 \cdot 10^{-4}$ моль/л, определяется изменя-

ющимися условиями проникновения накачки в раствор.

Более сложный характер имеет экспериментальная зависимость η_{σ} (C) для водного раствора этого красителя (кривая 2), где можно выделить четыре области концентраций, в пределах которых КПД генерации меняется по-разному. До $C=1\cdot 10^{-4}$ моль/л происходит увеличение КПД генерации, в области $10^{-4} < C < 2 \cdot 10^{-4}$ моль/л наблюдается его падение. Рост на начальном участке зависимости $\eta_g(C)$, как уже отмечалось выше, связан с увеличением числа молекул, участвующих в процессе формирования вынужденного излучения. При дальнейшем возрастании концентрации Р6Ж происходит образование его ассоциатов. На рис. 2 (кривая 3) представлена экспериментально определенная зависимость степени $\,$ ассоциации $1\,$ — $\,$ $X\,$ (где $X\,$ — доля мономеров в растворе) молекул Р6Ж от концентрации, рассчитанная из концентрационных изменений спектров поглощения исследованных растворов [1].

Из рис. 2 видно, что в пределах выбранных значений концентраций с ростом C происходит монотонное увеличение (1-X). Вследствие этого возникает концентрационное тушение люминесценции (рис. 1, кривая 1) как за счет неактивного поглощения возбуждающего света его ассоциатами, так и за счет процессов переноса энергии электронного возбуждения с мономеров на эти ассоциаты Р6Ж. Этим можно объяснить наблюдаемое при концентрациях $C \ge 10^{-4}$ моль/л падение КПД генерации (рис. 2, кривая 2). При $C > 2 \cdot 10^{-4}$ моль/л вновь наблюдается рост КПД генерации, который может быть связан с генерацией излучения ассоциатами Р6Ж. Это подтверждается двумя фактами.

Первый — наблюдается непосредственная связь между концентрационными зависимостями η_g и (1-X) (рис. 2, кривые 2, 3), что соответствует теоретическим предпосылкам (формулы (1) и (2)).

Второй факт заключается в следующем. Вследствие того, что в $(v_{fi}^{max})^3$, смещение спектра флувыражение (2) входит множитель оресценции в длинноволновую область должно приводить к существенному увеличению N_{ν} , т. е. к возрастанию $\eta_{\mathcal{E}}$. Как показали наши измерения спектральных характеристик флуоресценции водных растворов Р6Ж, слектр флуоресценции ассоциатов Р6Ж действительно сдвинут на ~ 50 нм в длинноволновую область по сравнению с мономерной полосой флуоресценции. Таким образом, за счет резкого увеличения концентрации ассоциированных молекул Р6Ж и длинноволнового смещения их спектра флуоресценции происходит увеличение N_{ip} при постоянстве энергии накачки, что приводит к генерации получения ассоциатами и возрастанию η_g . При концентрациях $P6XC > 4 \cdot 10^{-4}$ моль/л возбуждается лишь тонкий слой раствора, что приводит к увеличению порога генерации и, как следствие, к падению ее КПД (рис. 2, кри-

вая 2).

Участие ассоциатов в процессе формирования вынужденного излучения растворами Р6Ж должно сказаться и на спектральных характеристиках генерации. Согласно теоретическим представлениям [5] частота максимума слектра генерации $v_g^{\rm max}$ может быть определена с помощью следующего соотношения:

$$v_{g}^{\text{max}} = \frac{\sigma^{2}}{4\Delta v} \ln \left(\frac{N_{2}}{N_{1}} - \frac{v_{\text{fl}}^{\text{max}}}{v_{\text{abs}}^{\text{max}}} \right) + v_{00}, \tag{3}$$

где N_1 и N_2 — заселенности нижнего и верхнего лазерного уровней, ν_{00} — частота 0—0-перехода; σ — полуширина спектра люминесценции; $\Delta \nu$ — стоксов сдвиг спектров поглощения и люминесценции; ν_{abs}^{max} , ν_{nl}^{max} — частоты максимумов спектров поглощения и люминесценции соответственно.

$$\left(rac{N_2}{N_1} - rac{v_{
m fl}^{
m max}}{v_{
m abs}^{
m max}} < 1
ight)$$
, частота генерации меньше частоты v_{00} и должна зависеть от концентрации $P6 \%$. Однако на опыте наблюдается более

сложный характер концентрационных изменений спектра генерации водных

растворов Р6Ж.

В области $C < 1.6 \cdot 10^{-4}$ моль/л с ростом концентрации происходит слабый длинноволновый сдвиг максимума спектра генерации (рис. 3, кривая 1). В интервале $C=2\cdot 10^{-4}-4\cdot 10^{-4}$ моль/л наблюдается двухполосная генерация P6Ж (рис. 3, кривые 1, 2). При этом положение максимума первой полосы изменяется мало. Это связано с тем, что одновременно с ростом концентрации раствора происходит и увеличение концентрации ассоциированных молекул, что определяет примерное постоянство концентрации мономерных молекул РбЖ, участвующих в процессе генерации излучения и, как следует из (3), стабильность спектрального состава генерации. Вторая полоса в спектре генерации водного pa-

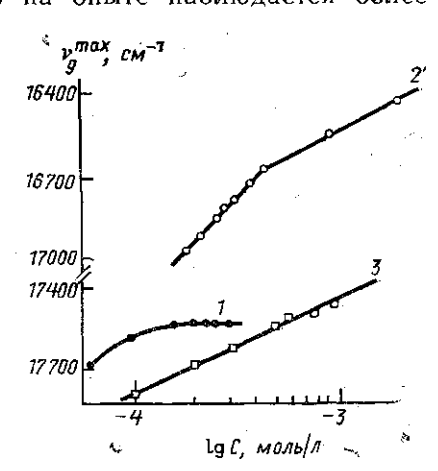


Рис. 3. Зависимости положения максимумов полос генерации растворов Р6Ж от концентрации в водном (1, 2) и этанольном (3) растворах

створа P6Ж формируется его ассоциатами (рис. 3, кривая 2). В связи с тем, что концентрация ассоциатов увеличивается, происходит длинноволновый сдвиг этой полосы. При еще больших концентрациях ($C > 5 \cdot 10^{-4}$ моль/л), когда раствор характеризуется высокой степенью ассоциации (1 - X > 0.5), спектр генерации состоит из одной (длинноволновой) полосы. При этом максимум излучения в ней испытывает длинноволновый концентрационный сдвиг, так как степень

ассоциации в этой области концентраций продолжает расти (рис. 2, кривая 3). В противоположность водному раствору Р6Ж спектр генерации его этанольного раствора содержит одну полосу, причем в исследованной области концентраций наблюдается линейная зависимость между положением максимума спектра генерации и логарифмом концентрации Р6Ж (рис. 3, кривая 3).

Таким образом, совокупность представленных экспериментальных данных указывает на генерацию излучения ассоциатами РбЖ. Для более детального выявления роли ассоциатов красителей в процессе генерации излучения необходимы исследование генерационных характеристик растворов ряда красителей, характеризующихся различной структурой ассоциатов, а также проведение температурных опытов.

ЛИТЕРАТУРА

[1] Левшин Л. В., Салецкий А. М. Люминесценция и ее измерения. М., 1989. [2] Chin S. L., Leclerc L., Bedard G.//Opt. Commun. 1972. 6, № 3. Р. 264. [3] Степанов Б. И.//Журн. прикл. спектр. 1971. 15. С. 359. [4] Рубинов А. Н., Томин В. И.//Итоги науки и техники. Сер. Радиотехника. М., 1976. Т. 9. С. 35. [5] Тихонов Е. Н., Шпак М. Т. Нелинейные оптические явления в органических соединениях. Киев, 1979.

Поступила в редакцию 17.01.92

ВЕСТН, МОСК, УН-ТА, СЕР, 3, ФИЗИКА, АСТРОНОМИЯ, 1992. Т. 33, № 6

УДК 535.37

ФОТОЛЮМИНЕСЦЕНЦИЯ ИОНА Ce^{3+} В ТВЕРДЫХ РАСТВОРАХ $Ca_{1-x}Sr_xS$

А. Н. Бельский, О. Крашни, В. В. Михайлин, М.-Л. Ю. Аллсалу (кафедра теоретической физики)

Измерены спектры свечения Ce^{3+} в твердых растворах $Ca_{1-x}Sr_xSr_xS$ ($0 \leqslant x \leqslant 1$) при возбуждении в активаторной полосе и на краю фундаментального поглощения. По-казано, что с помощью модели кристаллического поля кубической симметрии в целом можно интерпретировать эволюцию спектров с изменением концентрации при активаторном возбуждении (кроме x=0.05 и 0.9), но нельзя объяснить возникающие в них особенности при возбуждении на краю фундаментального поглощения. Высказано предположение, что при межзонном возбуждении происходит радиационно-индуцированное искажение некоторой доли цериевых центров свечения. Обнаружено ступенчатое изменение параметров люминесценции при изменении x от 0 до 1, что указывает, по-видимому, на локальную неоднородность твердого раствора.

1. Введение

Получение надежных результатов при изучении люминесценции кристаллофосфоров на основе смешанных щелочноземельных сульфидов (ЩЗС) долгое время было затруднено из-за недостаточной фазовой чистоты данных соединений [1]. Появление технологии синтеза ЩЗС с высокой степенью фазовой чистоты [2] позволило начать систематические исследования люминесцентных характеристик кристаллофосфоров на их основе.

Люминесценция активаторного иона Ce³⁺ в CaS и SrS довольно подробно изучена [3—6], однако вопрос об изменении спектров данной люминесценции при разных видах возбуждения остался за рамками этих исследований, практически нет данных о люминесценции церия

в твердых растворах сульфидов кальция и стронция.